



Investigating the Performance of Empirical Models for Estimating Reference Plant Water Requirements in Mianeh County

Fariborz Ahmadzadeh Kaleybar¹ and Ahad Molavi^{2*}

- 1) Assistance Professor, Department of Water Science and Engineering, Faculty of Agriculture and Natural Resources, Tabriz Branch, Islamic Azad University, Tabriz, Iran
- 2) Assistance Professor, Department of Water Science and Engineering, Faculty of Agriculture and Natural Resources, Tabriz Branch, Islamic Azad University, Tabriz, Iran

*Corresponding author emails: ahad.molavi@iaut.ac.ir

Abstract:

Background and Aim: Evapotranspiration is one of the most important factors of the hydrological cycle and its estimation is essential for a wide range of research including water balance, irrigation system design and management, simulation and modeling, and water resources planning. A model should be selected that can accurately estimate evapotranspiration according to regional conditions and using minimal climatic data. The aim of this research was to investigate the efficiency of different models for estimating evapotranspiration of reference plants, considering the FAO-Penman-Monteith model as the base model, and consequently to determine the most appropriate alternative model, considering the use of minimal data at the synoptic station of Mianeh County.

Method: The study site was the Mianeh Synoptic Station. This station is located in Mianeh County. Mianeh County is located in the southeastern corner of East Azerbaijan Province. To conduct this research and estimate the evapotranspiration rate of the reference plant, several meteorological parameters such as wind speed, average percentage of sunny hours, average monthly temperature, maximum monthly temperature, minimum monthly temperature, maximum monthly relative humidity, average monthly relative humidity, minimum monthly relative humidity, air pressure, and extraterrestrial radiation of the Mianeh Synoptic Station were used. The Visual Basic programming language was used to calculate the evapotranspiration of the reference plant. To evaluate the models for calculating the evapotranspiration of the reference plant, four categories of combined models (Penman-Wirth, Allen-Penman- Pruitt), radiation (Doorenbos-Pruitt and Jensen-Haise), temperature (Linacre and Hargreaves) and the Ivanof moisture model were considered. The FAO-Penman-Monteith model was considered as a standard model to evaluate the performance of other models. The efficiency of the models was evaluated using five statistical indicators: root mean square error, mean average error, mean absolute error, coefficient of determination, and Jacovides criterion.

Results: The results showed that among the combined models groups, the coefficient of determination of the Allen-Penman- Pruitt model with a value of 0.859 had a relatively good agreement compared to the Penman- Wirth model. Comparison of the ETP obtained from the Allen-Penman- Pruitt model and the base model showed that most of the resulting points were above the $y=x$ line, which indicated an underestimation of this model compared to the baseline model. In the Penman-Wirth method, the underestimation compared to the base model was evident in most cases with less intensity. In the radiation models category, the estimated ETP of the Jensen-Haise model had higher values than the standard model from April to August. The scatter of points in the diagram related to the Doorenbos- Pruitt model was greater than that of the Jensen-Haise method, which caused the coefficient of determination of this method to be lower than that of the Jensen-Haise method. Temperature models had the lowest average values of the statistical error indices RMSE and MAE. The highest coefficient of determination among the groups used was also related to these models. The agreement of ETPs obtained from Hargreaves and Ivanof models after applying regression coefficients with the results obtained from the standard model was greater than that of other models.

Conclusion: After applying regression coefficients in all models, the values of error indicators were significantly reduced, which indicates its positive effect on improving and increasing the performance of the models. The Hargreaves model with a correlation coefficient of 0.965 and an R/t criterion of 0.16 had the highest value among all models and had the best agreement and conformity with the base model. The Hargreaves model can be considered as a suitable alternative to the FAO-Penman-Monteith model for calculating the ETP of the Mianeh synoptic station, especially in terms of regression coefficients. Although the Ivanof moisture model had high error indicators of RMSE, MAE, MBE and the Jakovides criterion, but with a correlation coefficient of 0.963 and subsequent high agreement with the results of the standard method, this model can be recommended after the Hargreaves model by considering the regression coefficients for estimating the ETP of the Mianeh synoptic station.

Keywords : Evapotranspiration, regression coefficients, Empirical Models

بررسی عملکرد مدل‌های تجربی تخمین نیاز آبی گیاه مرجع در شهرستان میانه

فربیز احمدزاده کلیر^۱ و احمد مولوی^{۰۲}

۱) استادیار، گروه علوم و مهندسی آب، دانشکده کشاورزی و منابع طبیعی، واحد تبریز، دانشگاه آزاد اسلامی، تبریز، ایران.

۲) استادیار، گروه علوم و مهندسی آب، دانشکده کشاورزی و منابع طبیعی، واحد تبریز، دانشگاه آزاد اسلامی، تبریز، ایران.

*ایمیل نویسنده مسئول: ahad.molavi@iaut.ac.ir



شایپا چاپی: ۲۲۵۱-۷۴۸۰
شایپا الکترونیکی: ۲۲۵۰-۷۴۰۰

نشریه حفاظت منابع آب و خاک

آدرس تارنما:

<https://wsrjc.srbiau.ac.ir>

پست الکترونیک:

iauwsrjc@srbiau.ac.ir

iauwsrjc@gmail.com

سال پانزدهم

شماره ۱ (۵۷)

تاریخ دریافت:

۱۴۰۳/۱۰/۲۸

تاریخ پذیرش:

۱۴۰۳/۱۲/۱۴

صفحات: ۹۳-۸۳

چکیده:
زمینه و هدف: تبخیر و تعرق یکی از عوامل بسیار مهم چرخه هیدرولوژیکی بوده و تخمین آن برای طیف وسیعی از تحقیقات از جمله بیلان آبی، طراحی و مدیریت سامانه‌های آبیاری، شبیه‌سازی و مدل بندی، برنامه‌ریزی منابع آب ضروری است. مدلی باید انتخاب شود که بتواند با توجه به شرایط منطقه و استفاده حداقل از داده‌های اقلیمی، تبخیر و تعرق را دقیق برآورد کند. هدف از این تحقیق، بررسی کارایی مدل‌های مختلف برآورد تبخیر-تعرق گیاه مرجع با در نظر گرفتن مدل فائق-پنمن-مونتیث به عنوان مدل مبنا و درنتیجه تعیین مناسب‌ترین مدل جایگزین با لحاظ به کارگیری کمترین داده در ایستگاه سینوپتیک شهرستان میانه بود.

روش پژوهش: محل موردمطالعه ایستگاه سینوپتیک میانه بود. این ایستگاه در شهرستان میانه واقع شده است. شهرستان میانه، در گوشه جنوب شرقی استان آذربایجان شرقی قرار گرفته است. برای انجام این پژوهش و برآورد میزان تبخیر و تعرق گیاه مرجع از پارامترهای هواشناسی متعددی از قبیل سرعت باد، متوسط درصد ساعات آفتابی، دمای متوسط ماهانه، دمای حداقل ماهانه، دمای حداکثر ماهانه، رطوبت نسبی حداقل ماهانه، رطوبت نسبی متوسط ماهانه، رطوبت نسبی حداقل ماهانه، فشار هوای تشعشع برون زمینی ایستگاه سینوپتیک میانه استفاده به عمل آمد. جهت محاسبه تبخیر و تعرق گیاه مرجع از زبان برنامه‌نویسی ویژوال‌بیسیک استفاده شد. برای ارزیابی مدل‌های محاسبه تبخیر و تعرق گیاه مرجع چهار دسته مدل‌های ترکیبی (پنمن-رایت، آلن-پنمن-پروت)، تابشی (دورنبوس-پروت و جنسن هیز)، دمایی (لیناکر و هارگریوز) و مدل رطوبتی ایوانف در نظر گرفته شدند. مدل فائق-پنمن-مونتیث به عنوان مدل استاندارد برای ارزیابی عملکرد سایر مدل‌ها در نظر گرفته شد. بررسی کارایی مدل‌ها تحت پنج شاخص آماری جذر میانگین مربعات خطأ، میانگین خطای متوسط، میانگین خطای مطلق، ضریب تبیین و معیار جاکوویدس انجام گردید.

یافته‌ها: نتایج نشان داد در بین دسته مدل‌های ترکیبی ضریب تبیین مدل آلن-پنمن-پروت با مقدار ۰/۸۵۹ دارای همخوانی نسبتاً خوبی در مقایسه با مدل پنمن-رایت بود. مقایسه ETP حاصل از مدل آلن-پنمن-پروت و مدل مبنا نشان داد که اکثر نقاط حاصله بالای خط $y=x$ واقع شدند که نشان از کم برآورده این مدل نسبت به مدل مبنا می‌باشد. در مدل پنمن-رایت کم برآورده نسبت به مدل مبنا در اکثر موارد با شدت کمتری مشهود بود. در دسته مدل‌های تابشی ETP های برآورده مدل جنسن-هیز از آوریل تا اوت مقادیر بالایی نسبت به مدل استاندارد داشتند. پراکنده‌گی نقاط در نمودار مربوط به مدل دورنبوس-پروت نسبت به مدل جنسن-هیز بیشتر بوده که باعث کم بودن ضریب تبیین این مدل نسبت به مدل جنسن-هیز شده است. مدل‌های دمایی کمترین مقادیر متوسط شاخص‌های آماری خطای RMSE, MAE را دارا بوده و بیشترین ضریب تبیین در بین گروههای بکار رفته مربوط به این مدل‌ها بود. تطابق ETP های به دست آمده از مدل‌های هارگریوز و ایوانف بعد از اعمال ضرایب رگرسیونی با نتایج حاصل از مدل استاندارد از سایر مدل‌ها بیشتر بود.

نتایج: پس از اعمال ضرایب رگرسیونی در کلیه مدل‌ها مقادیر شاخص‌های خطأ به طور قابل ملاحظه‌ای کاهش یافتند که نشان از تأثیر مثبت آن در بهبود و افزایش کارایی و عملکرد مدل‌ها دارد. مدل هارگریوز با ضریب همبستگی معادل ۰/۹۶۵ و معیار R/t برابر ۰/۱۶ بالاترین مقدار را در بین تمامی مدل‌ها، بهترین همخوانی و تطابق را با مدل مبنا داشت. می‌توان مدل هارگریوز را بهویژه بعد از لحاظ ضرایب رگرسیونی به عنوان یک جایگزین مناسب برای مدل فائق-پنمن-مونتیث برای محاسبه ETP ایستگاه مذبور در نظر گرفت. با وجود آنکه مدل رطوبتی ایوانف شاخص‌های خطای MBE, RMSE, MAE و معیار جاکوویدس بالایی داشت، ولی با داشتن ضریب همبستگی ۰/۹۶۳ و به دنبال آن همخوانی بالا با نتایج مدل استاندارد، این مدل بعد از مدل هارگریوز با در نظر گرفتن ضرایب رگرسیونی برای تخمین ETP ایستگاه سینوپتیک میانه قابل پیشنهاد است.

کلید واژه‌ها: تبخیر و تعرق، ضرایب رگرسیون، مدل‌های تجربی

مقدمه

همکاران (۲۰۱۰) با چند مدل تجربی مورد محسوبه قرار گرفت. ستاده های حاصل را با نتایج مدل فائق-پنمن-مونتیث به عنوان معیار ارزیابی مورد مقایسه قراردادند. نتایج نشان داد که مدل های پریستلی-تیلور و هارگریوز نسبت به سایر مدل های بکار رفته دارای ارجحیت می باشند. گل ریحان و همکاران (۱۴۰۲) در منطقه اهر که جنوب جنگل های ارسباران واقع شده میزان تبخیر و تعرق مراتع آویشن، نعناع و یونجه را با استفاده از روش SEBAL محاسبه نمودند. برای این کار از ۶ تصویر ماهواره ای لندست ۸ استفاده نموده و نتایج به دست آمده با را مدل پنمن-مونتیث مقایسه کردند. بر پایه مقایسه های انجام یافته در دوره اولیه و پایانی رشد، مقبولیت این روش را با RMSE برابر با ۷/۱۷ MAD برابر با ۶۵۸/۰ و ضریب تعیین ۸۴/۰ میلی متر در روز مورد تأیید قراردادند. خاری و همکاران (۱۴۰۲) در پژوهشی برای ایستگاه سینوپتیک رامهرمز تبخیر و تعرق مرجع را با مدل های شبکه عصبی مصنوعی (ANN)، شبکه عصبی مصنوعی بهینه شده با الگوریتم ژنتیک (ANN+GA) و چند مدل دیگر برآورد نمودند. داده های به دست آمده را با نتایج حاصل از مدل استاندارد پنمن-مونتیث-فائق به عنوان مدل مبنا مورد مقایسه قراردادند. نتایج بیانگر برتری مدل شبکه عصبی تلفیقی-الگوریتم ژنتیک نسبت به سایر مدل ها بود. همچنین ستاده های حاصل از ستاریوهای به کار گرفته عوامل هواشناسی به عنوان ورودی برای مدل های ANN و ANN+GA نشان داد، بالاترین دقت تخمین تبخیر و تعرق بالقوه در هر دو مدل، مربوط به سناریویی با داده های ورودی دمای حداکثر و دمای حداقل، رطوبت نسبی حداقل، رطوبت نسبی حداکثر، ساعت آفتابی و سرعت باد بوده و کمترین دقت نیز در سناریویی با تنها دو ورودی دمای حداکثر و دمای حداقل بود. طافی و همکاران (۱۴۰۰) تبخیر و تعرق بالقوه را در استان مازندران با مدل های دمایی، تابش، انتقال جرم و والیتراس تخمین و با نتایج حاصل از مدل پنمن-مونتیث-فائق مورد مقایسه قراردادند. نتایج نشان از تخمین کمتر روش های انتقال جرم و والیتراس نسبت به مدل پنمن-مونتیث-فائق داشت. مدل تراپرت با ضریب تبیین ۹۸۴/۰-۹۸۴/۰ دقیق ترین و نزدیک ترین مدل به مدل پنمن-مونتیث-فائق تعیین گردید. آیاز^۱ و همکاران (۲۰۲۱) در یک مطالعه نسبت به ارزیابی مدل های مختلف ML مبتنی بر شبکه های عصبی حافظه کوتاه مدت (LSTM)، رگرسیون تقویت گرادیان (GBR)، جنگل تصادفی (RF) و بردار پشتیبانی تخمین ETP با حداقل ورودی های آب و هوایی پرداختند. ایشان جهت ارزیابی مدل مدل فائق-پنمن-مونتیث را به عنوان مدل استاندارد و مبنا در نظر گرفتند. نتایج نشان داد که دقت ۹۹ درصد را می توان با تمام گرفتند. نتایج نشان داد که دقت آور، درحالی که دقت با داده های ورودی های اقلیمی به دست آورده، در مدل فائق-پنمن-مونتیث داشت. کمتر به ۸۶ درصد کاهش می یابد. مدل LSTM بهتر از سایر

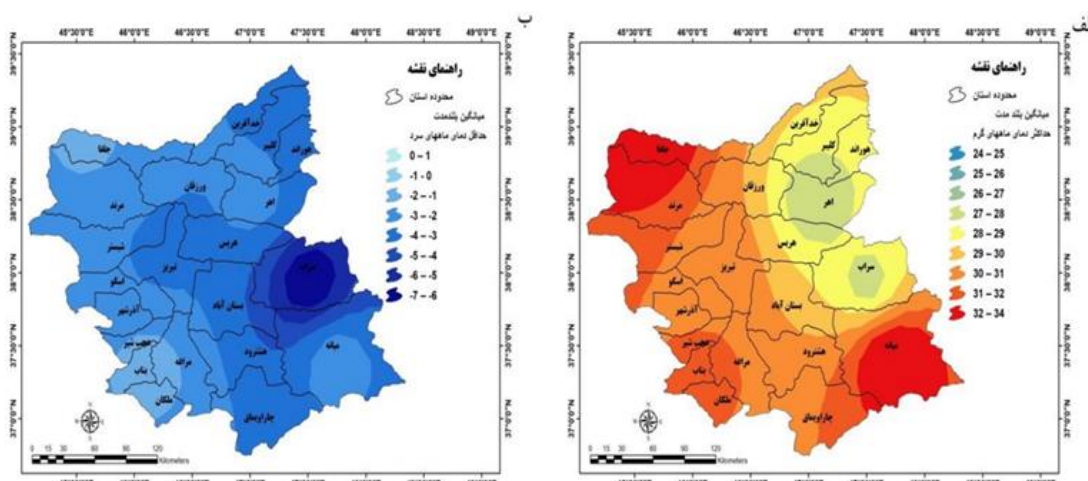
تبخیر و تعرق بالقوه (ETP) یک متغیر هیدرولوژیکی پیچیده است که توسط متغیرهای آب و هوایی مختلف که بر تعادل آب و انرژی و عوامل حیاتی برای نیاز آبی محصول و برنامه ریزی آبیاری تأثیر می گذارند، تعریف می شود (Song et al., 2019). تبخیر و تعرق یکی از مهم ترین اجزای چرخه هیدرولوژیکی بوده و برآورد آن برای طیف وسیعی از مطالعات از جمله بیلان آبی، طراحی و مدیریت سامانه های آبیاری، شبیه سازی، برنامه ریزی و مدیریت منابع آب ضروری می باشد (Allen et al., 1998). مدل های بسیاری برای برآورد تبخیر و تعرق وجود دارد که هر کدام محدودیت هایی دارند. بعضی از این مدل ها مثل لایسیمتر، هزینه بزرگ و زمان بر بوده و برخی دیگر مثل مدل های تجربی، اعتبار محلی ندارند. استفاده از مدلی که بتواند با توجه به ماهیت پیچیده این پدیده و استفاده حداقل از داده های اقلیمی، تبخیر و تعرق را برآورد کند لازم و ضروری به نظر می رسد (Khari et al., 2023) تعداد زیادی از روش های اصلی یا اصلاح شده محاسبه تبخیر و تعرق مرجع به طور گسترش دای مورداستفاده قرار گرفته اند. این مدل ها با توجه به داده های موردنیاز به مدل های دمایی، مدل های تابشی و مدل های ترکیبی طبقه بندی شده اند که برخی از آن ها جهت محاسبه تبخیر و تعرق بالقوه به تعداد ورودی کم نیاز دارند (Song et al., 2019). با توجه به اینکه مدل های تجربی بر اساس مفروضات مختلف عمل می کنند، ارزیابی عملکرد آن ها برای تعیین دقیق ترین مدل ها برای محاسبه ETo بر اساس در دسترس بودن داده های ورودی و شرایط آب و هوایی خاص یک منطقه ضروری است (Raja et al., 2024). رؤوف و عزیزی مبصر (۱۳۹۶) در پژوهشی با مدل های دمایی، تشعشعی و ترکیبی تبخیر و تعرق بالقوه را در ایستگاه تحقیقاتی هانگار دانشگاه محقق اردبیلی واقع در شهر اردبیل برآورد و با داده های حاصل از لایسیمتر زهکش دار و مدل پنمن-مونتیث-فائق مورد ارزیابی قراردادند. نتایج نشان داد که پراکندگی نقاط اطراف خط $y=x$ زیاد بوده، به طوری که برخی از مدل ها بیش برآورد و در بعضی دیگر با کم برآورده تبخیر و تعرق بالقوه را برآورد کردند. با در نظر گرفتن شاخص های آماری به ترتیب مدل های تورک، برتری و همکاران و تراجوکویچ مناسب ترین مدل ها در مقایسه با مدل پنمن-مونتیث-فائق بودند. لاندراس^۲ و همکاران (۲۰۰۸) در تحقیقی با مدل های متعددی تبخیر-تعرق بالقوه در شمال اسپانیا را برآورد نمودند. ایشان نتایج به دست آمده را با مدل فائق-پنمن-مونتیث که به عنوان مبنا در نظر گرفته بودند مورد مقایسه قراردادند. نتایج حاکی از آن بود که مدل مک کینک نسبت به سایر مدل ها دارای کمترین خطای بوده و در مقابل مدل هارگریوز-سامانی کمترین تطابق را با مدل فائق-پنمن-مونتیث داشت. تبخیر-تعرق بالقوه در ایالت اونتاریو کانادا به وسیله سنتلهاس^۳ و

مواد و روش‌ها

محل موردمطالعه ایستگاه سینوپتیک میانه بود. این ایستگاه در ۴۷ درجه و ۴۲ دقیقه طول شرقی و ۳۷ درجه و ۲۷ دقیقه عرض شمالی در شهرستان میانه واقع شده است. ارتفاع آن از سطح دریا ۱۱۱۰ متر می‌باشد. این شهرستان، در گوشه جنوب شرقی استان آذربایجان شرقی قرارگرفته است. شهرستان میانه دورافتاده‌ترین شهر نسبت به مرکز استان بوده و شهرستان‌های هشت‌رود، بستان‌آباد و سراب در غرب و شمال آن واقع می‌باشند. شهرستان خلخال نیز در استان اردبیل همسایه شرقی شهرستان میانه به شمار می‌رود. آبوهواهای استان آذربایجان شرقی عمدتاً سرد و خشک بوده و با توجه به تنوع توپوگرافی از اقلیم‌های متغیری برخوردار می‌باشد. اقلیم شهرستان میانه در قسمت میانی و جنوب شرقی آن دارای آبوهواهای خشک و سرد بوده و در دامنه‌های پست دره فزل‌اوزن، دارای اقلیم نیمه‌خشک سرد مدیترانه‌ای است. این استان از جریان‌های مرطوب دریای مدیترانه از سمت غرب و جنوب غربی متأثر شده و توده‌های هوای سرد سیبری از شمال بر اقلیم آن تأثیر می‌گذارد (راوند و همکاران ۱۴۰۱). متوسط بارندگی سالانه ۲۵۰ میلی‌متر و متوسط دما نیز ۱۲ درجه سانتی گراد می‌باشد. متوسط دمای بلندمدت استان در دوره گرم سال بین ۲۴–۳۴ درجه سانتی گراد و دوره سرد سال ۷–۰ درجه سانتی گراد متغیر است. در شکل (۱) پهنه‌بندی متوسط دمای بلندمدت دوره گرم و سرد سال و موقعیت ایستگاه سینوپتیک میانه در استان آذربایجان شرقی ارائه شده است (پور اصغر و همکاران ۱۳۹۸). با عنایت به شکل (۱) متوسط دمای بلندمدت دوره گرم سال در شهرستان میانه در بازه ۲۹ الی ۳۴ درجه سانتی گراد قرارگرفته که جزو شهرهای نسبتاً گرم استان به شمار می‌رود.

مدل‌های ML با تمام ترکیب‌های ورودی در هر دو ایستگاه عمل کرد. مطالعه نشان داد که حتی یک ترکیب سه پارامتری (مقادیر دما، سرعت باد و رطوبت نسبی) یا ترکیب دو پارامتری (دما و رطوبت نسبی) یا (دما و سرعت باد) نیز می‌تواند در برآورده امیدوارکننده باشد بودیان^۴ و همکاران (۲۰۲۴) تبخیر و تعرق بالقوه در حوضه رودخانه گامبیا، سنگال و کازامانس را با چند مدل تجربی برآورد نمودند. نتایج نشان داد که پس از واستنجی، مدل‌های تربت، هارگریوز، هارگریوز-سامانی، تراجکویچ و اوادین به ترتیب نسبت به سایر مدل‌ها جایگزین بهتری جهت تخمین تبخیر و تعرق مرجع در حوضه‌های مزبور هستند. راجا^۵ و همکاران (۲۰۲۴) با مدل‌های تجربی مبتنی بر دما و تابش تبخیر و تعرق بالقوه در منطقه استوایی اوداکاماندالام تامیل نادو، هند را برآورد و نتایج را با مشاهدات تبخیر از تشت و مدل فائو-پنمن-مونتیث ارزیابی نمودند. نتایج حاکی از آن بود که مدل‌های مبتنی بر تابش بهتر از مدل‌های مبتنی بر دما عمل کردند. این احتمالاً به دلیل رطوبت بالای منطقه موردمطالعه در طول سال بود. همچنین مدل‌های ساده مبتنی بر دما و تابش با استفاده از حداقل اطلاعات هواشناسی برای تخمین ET₀ و درنتیجه یافتن کاربرد بالقوه در شیوه‌های آب کشاورزی، فرآیندهای هیدرولوژیکی و مدیریت آبیاری کافی هستند.

با توجه به آنکه مطالعه جامعی در خصوص ارزیابی عملکرد مدل‌های ترکیبی، دمایی، تابشی و رطوبتی تخمین تبخیر-تعرق بالقوه در شهرستان میانه بر پایه مدل فائو-پنمن-مونتیث انجام‌نشده است، لذا هدف از این تحقیق، بررسی کارایی مدل‌های مختلف برآورد تبخیر-تعرق مرجع با در نظر گرفتن مدل فائو-پنمن-مونتیث به عنوان مدل استاندارد و درنتیجه تعیین مناسبترین مدل جایگزین با لحاظ به کارگیری کمترین داده در ایستگاه سینوپتیک میانه بود.



شکل ۱. نقشه متوسط دمای بلندمدت دوره گرم و سرد سال و موقعیت شهرستان میانه در استان آذربایجان شرقی

(الف) دمای حداکثر در دوره گرم (ب) دمای حداقل در دوره سرد سال

مدل استاندارد و مبنای برای ارزیابی عملکرد مدل‌ها در تحقیق حاضر از مدل فائو-پنمن-مونتیث به عنوان مدل مبنای استاندارد برای ارزیابی سایر مدل‌های محاسبه ETP استفاده شد. روابط این مدل‌ها به طور خلاصه در جدول (۱) آرائه شده است.

شاخص‌های آماری برای تعیین مناسب‌ترین مدل مقادیر تبخیر و تعرق بالقوه حاصل از مدل‌های فوق تحت پنج شاخص آماری RMSE (جذر میانگین مربعات خطأ)، MBE (میانگین خطای متوسط)، MAE (میانگین خطای مطلق)، R^2 (ضریب تبیین) و t (معیار جاکوویدس (Jacovides, 1997)) با برآوردهای حاصل از مدل استاندارد فائو-پنمن-مونتیث مقایسه شدند.

$$R^2 = \left(\sum_{i=1}^n (O_i - \bar{O})^2 - \sum_{i=1}^n (P_i - O_i)^2 \right) \left(\sum_{i=1}^n (O_i - \bar{O})^2 \right)^{-1} \quad (1)$$

$$RMSE = \left(\sum_{i=1}^n (P_i - O_i)^2 / n \right)^{1/2} \quad (2)$$

$$MBE = \left(\sum_{i=1}^n (P_i - O_i) / n \right) \quad (3)$$

$$MAE = \left(\sum_{i=1}^n |P_i - O_i| / n \right) \quad (4)$$

$$t = \left(\frac{MBE^2(n-1)}{(RMSE^2) - (MBE^2)} \right)^{1/2} \quad (5)$$

برای انجام این پژوهش و برآورد میزان تبخیر و تعرق مرجع از پارامترهای هواشناسی متعددی از قبیل سرعت باد، متوسط درصد ساعات آفتابی، دمای متوسط ماهانه، دمای حداکثر ماهانه، دمای حداقل ماهانه، رطوبت نسبی حداقل ماهانه، رطوبت نسبی متوسط ماهانه، رطوبت نسبی حداکثر ماهانه، فشار هوای تشعشع بروون زمینی ایستگاه سینوپتیک میانه طی سال‌های آماری ۱۹۸۹ الی ۲۰۲۱ استفاده شد. جهت محاسبه تبخیر و تعرق بالقوه از زبان برنامه‌نویسی ویژوال بیسیک استفاده به عمل آمد.

مدل‌های استفاده شده در تحقیق جهت برآورد ETP

در این تحقیق از چهار دسته مدل به شرح:

(۱) مدل رطوبتی ایوانوف (Ivanof, 1954)

(۲) پنمن-رايت (Penman-Writh, 1982) و پنمن-آلن-پروت (Penman-Allen-Pruitt, 1991) به عنوان نماینده

مدل‌های ترکیبی انتقال جرم و توازن انرژی

(۳) هارگریوز (Hargreaves, 1989) و لیناکر (Linacre, 1977) به عنوان نماینده مدل‌های دمایی

(۴) دورنبوس-پروت (Doorenbos – Pruitt, 1977)، جنسن-هیز (Jensen and Haise, 1963) به عنوان نماینده مدل‌های تابشی

(۵) جهت تخمین ETP ایستگاه سینوپتیک میانه استفاده به عمل آمد.

جدول ۱. روابط مدل‌های بکار رفته در تحقیق

مدل	رابطه
مدل مبنای فائو-پنمن-مونتیث	$ETP = 1.066 - 0.001103(U_d)^2 (\frac{\Delta}{\Delta + \gamma} \times R_s) - 0.0002RH_{average} \cdot U_d - 0.0000315(RH_{average})^2 + 0.045U_d - 0.00128RH_{average}$
دورنبوس-پروت	$ETP = 1.066 - 0.001103(U_d)^2 (\frac{\Delta}{\Delta + \gamma} \times R_s) - 0.0002RH_{average} \cdot U_d - 0.0000315(RH_{average})^2 + 0.045U_d - 0.00128RH_{average}$
جنسن هیز	$ETP = ((38 - 2 \frac{EL}{305}) + 7.3 \frac{50}{e_2 - e_1})^{-1} (T_a - 2.5 - 0.14(e_2 - e_1) - \frac{EL}{550}) R_s$
پنمن-رايت	$ETP = (R_n - G) \frac{\Delta}{\Delta + \gamma} + \frac{\Delta}{\Delta + \gamma} \left(\frac{153.6}{L} \right) (e_s - e_a) (a_w + b_w \cdot U_{2m})$
آلن-پنمن-پروت	$ETP = C \left[(R_n - G) \frac{\Delta}{\Delta + \gamma} + f(u) \frac{\gamma}{\Delta + \gamma} \Delta e \right], C = f \left(\frac{U_{day}}{U_{night}}, RH_{max}, R_s, U_{day} \right)$
ایوانوف	$ETP = 0.000058(100 - RH)(25 + T)^2$
هارگریوز	$ETP = 0.0023R_a(17.8 + TC)TR^{0.50}$
لیناکر	$ETP = \frac{[T_c + 15(T_A - T_D)]}{80 - T_A}, T_c = \frac{700(0.006EL + T_A)}{100 - L}$

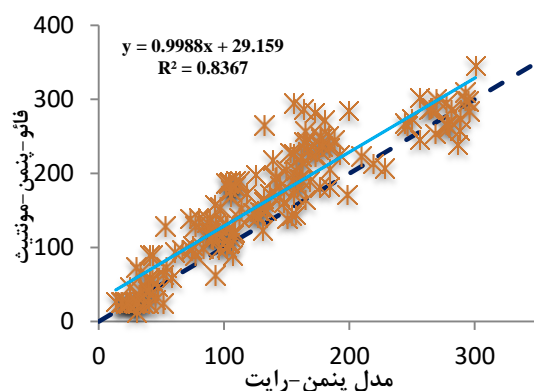
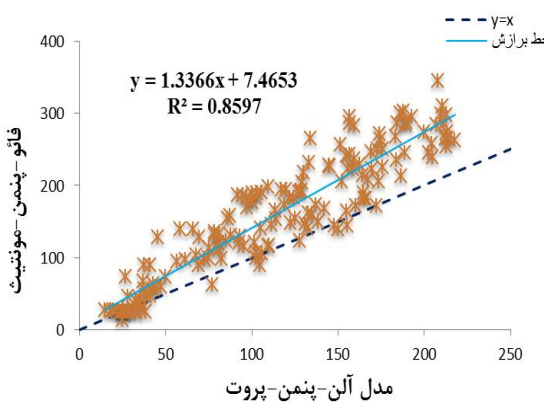
برنامه‌نویسی ویژوال بیسیک برآورد شدند. در شکل‌های (۲) مقادیر ETP های حاصل از مدل‌های پنمن-رايت و آلن-پنمن-پروت با نتایج بدست‌آمده از مدل استاندارد فائق-پنمن-مونتیث (F.P.M) مورد مقایسه قرار گرفته‌اند.

به طوری که از نمودارهای شکل (۲) مشخص است ضریب تبیین مدل آلن-پنمن-پروت با مقدار 0.859 ± 85.9 دارای همخوانی نسبتاً خوبی نسبت به مدل پنمن-رايت می‌باشد. نمودار مربوط به مدل آلن-پنمن-پروت نشان می‌دهد که در اکثر موارد نقاط حاصله بالای خط $y=x$ (یک به یک) واقع شده‌اند که نشان از کم برآورده این مدل نسبت به مدل مبنا (فائق-پنمن-مونتیث) دارد. در مدل پنمن-رايت هم کم برآورده نسبت به مدل مبنا در اکثر موارد مشهود است ولی کم برآورده آن در مقایسه با مدل آلن-پنمن-پروت دارای شدت کمتری است. در شکل (۳) مقادیر ETP های حاصل از مدل‌های تابشی جنسن هیز و دورنبوس-پروت با ستاده‌های حاصل از مدل F.P.M مورد مقایسه قرار گرفته‌اند.

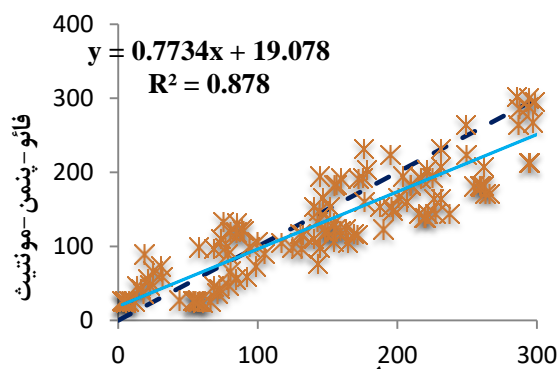
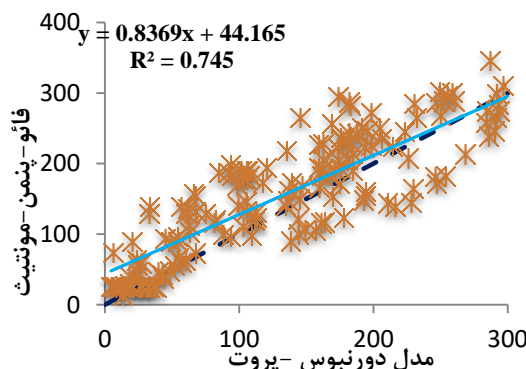
در این روابط \bar{O} میانگین حاصل از مدل استاندارد n تعداد مشاهدات، O و به ترتیب مقادیر حاصل از مدل استاندارد و محاسباتی از روش‌های دیگر می‌باشند. کوچک بودن مقادیر MBE و RMSE دلالت بر دقیق بالای مدل دارد. مقادیر مثبت MBE بیانگر بیشتر بودن مقادیر ETP محاسباتی حاصل از مدل‌های مختلف از مقادیر MBE حاصل از مدل استاندارد می‌باشد. همچنین مقادیر منفی MBE نشانگر آن است که ETP حاصل از مدل استاندارد دارای مقادیر بزرگ‌تری نسبت به ETP محاسباتی حاصل از مدل‌های مختلف است. مقدار t کمتر به مفهوم کمتر بودن اختلاف بین مقادیر ETP محاسباتی حاصل از مدل‌های مختلف و مقادیر ETP حاصل از مدل استاندارد بوده و آن مدل کارایی بهتری داشته است (Ghamarnia & Soultani, 2019).

نتایج و بحث

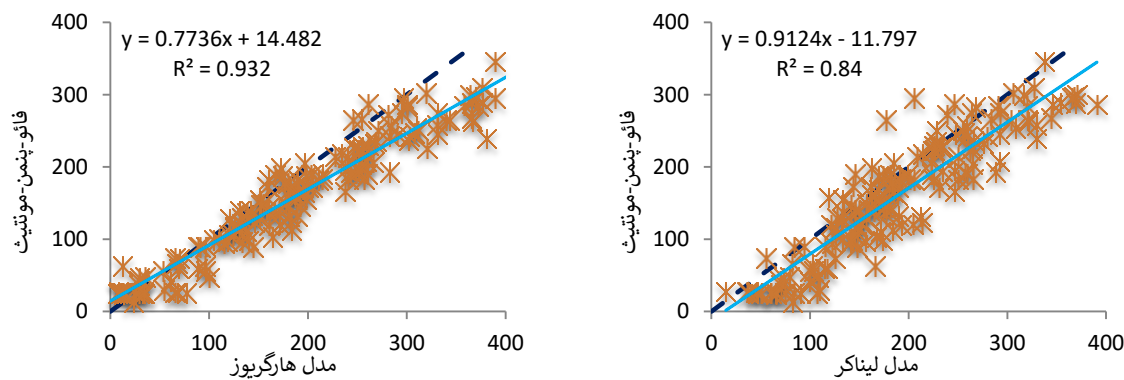
مقادیر تبخیر و تعرق بالقوه برآورد شده از مدل‌های پنمن-رايت، آلن-پنمن-پروت، دمایی (ليناکر، هارگریوز)، تابشی (جنسن هیز، دورنبوس-پروت) و رطوبتی ایوانف در محیط



شکل ۲. مقایسه تبخیر و تعرق بالقوه برآورد شده از مدل‌های پنمن-رايت و آلن-پنمن-پروت با مدل استاندارد

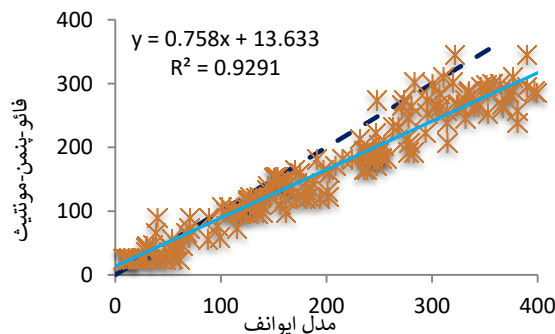


شکل ۳. مقایسه تبخیر و تعرق بالقوه برآورد شده از مدل‌های جنسن هیز و دورنبوس-پروت با مدل استاندارد



شکل ۴. مقایسه تبخیر و تعرق بالقوه برآورد شده از مدل‌های دمایی لیناکر و هارگریوز با مدل استاندارد

مقایسه مقادیر ETP های حاصل از مدل رطوبتی ایوانف با مقادیر منتج از مدل F.P.M ارائه شده است.

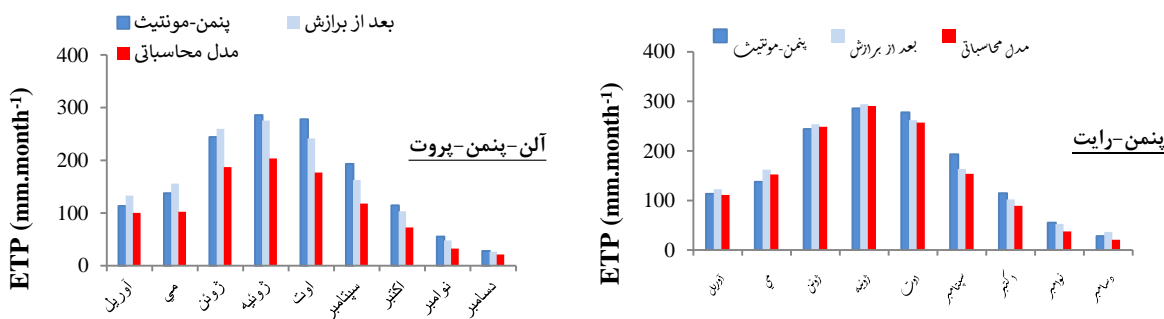


شکل ۵. مقایسه تبخیر و تعرق بالقوه برآورد شده از مدل رطوبتی ایوانف با مدل استاندارد

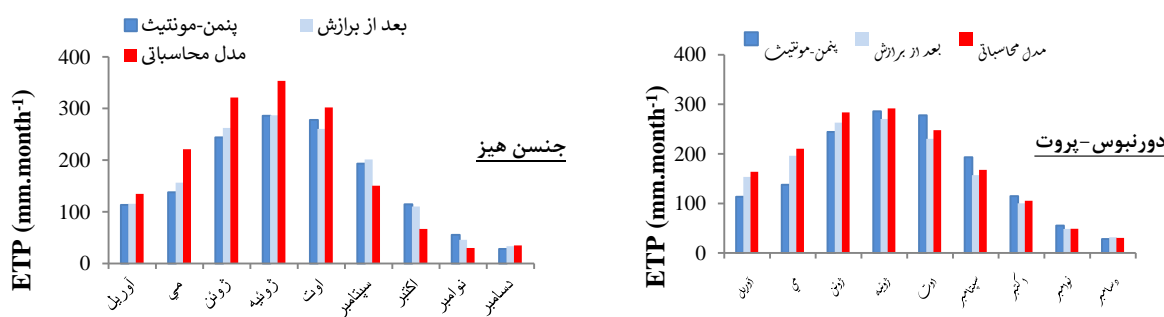
همخوانی برآوردهای ETP حاصل از مدل رطوبتی ایوانف با مقادیر حاصل از مدل استاندارد مطابق نمودار شکل (۵) با ضریب تبیین بالای ۰/۹۲۹ مشهود است. علی‌رغم آنکه اکثر نقاط زیرخط $y=x$ قرارگرفته‌اند و نسبت به مقادیر مدل استاندارد بیش برآورده اند دارند ولی نقاط دارای پراکندگی کمی بوده و فاصله آن‌ها از خط مزبور چندان زیاد نیست. این مدل با توجه به ضریب تبیین بالا و عدم پراکندگی نقاط می‌تواند بعد از اعمال ضرایب رگرسیونی، جایگزین مناسبی برای مدل فائق-پمن-مونتیث که داده‌های زیادی برای محاسبه تبخیر و تعرق بالقوه لازم دارد باشد. در اشکال (۴) الی (۶) مقایسه بین مقادیر متوسط تبخیر و تعرق بالقوه ماهانه حاصل از مدل‌های ترکیبی، دمایی، تابشی و رطوبتی قبل و پس از اعمال ضرایب رگرسیونی با مقادیر حاصل از مدل فائق-پمن-مونتیث ارائه شده است.

در مدل‌های بکار رفته از گروه تابشی مدل جنسن هیز با ضریب تبیین ۰/۸۷۸ نسبت به مدل دورنبوس-پروت دارای همخوانی قابل قبول‌تری با مدل استاندارد فائق-پمن-مونتیث است. طبق نمودار مدل جنسن-هیز اکثر نقاط زیرخط $y=x$ (شیب ۴۵ درجه) قرارگرفته‌اند. قرارگیری این نقاط در زیرخط مزبور حکایت از بیش برآورده مقادیر تبخیر و تعرق بالقوه از مدل جنسن-هیز نسبت به مدل استاندارد دارد. پراکندگی نقاط در نمودار مدل دورنبوس-پروت نسبت به مدل جنسن-هیز بیشتر بوده که باعث کم بودن ضریب تبیین این مدل نسبت به مدل جنسن-هیز شده است. مقایسه مقادیر ETP های حاصل از مدل‌های دمایی لیناکر و هارگریوز با نتایج حاصل از مدل F.P.M در شکل (۴) ارائه شده است.

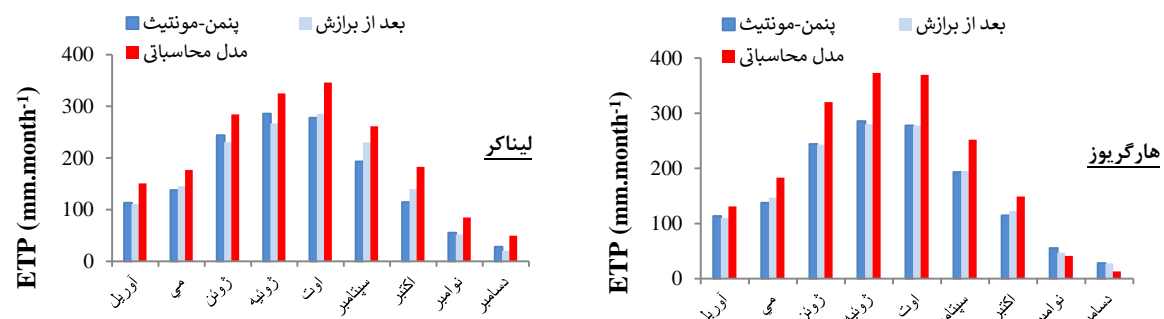
همان‌گونه که از نمودارهای شکل (۴) مشخص است پراکندگی نقاط در مدل‌های دمایی بخصوص مدل هارگریوز کمتر می‌باشد. ضریب تبیین مدل هارگریوز با مقدار ۰/۹۳۲ دلالت بر همخوانی مقادیر تبخیر و تعرق بالقوه محاسبه شده از این مدل با مدل استاندارد داشته و در بین تمامی مدل‌های بکار رفته بالاترین ضریب تبیین را دارد. در هر دو مدل بخصوص در مدل لیناکر اکثر نقاط زیرخط $y=x$ قرارگرفته‌اند که نشان از بیش برآورده می‌داند. با وجود این ازآنجایی که پراکندگی نقاط در مدل هارگریوز کم بوده و اکثر نقاط نزدیک خط نیمساز صفحه واقع شده‌اند می‌توان گفت علاوه بر همخوانی، تطابق این مدل با مدل استاندارد بالا است. مدل هارگریوز را با توجه به همخوانی و تطابق بالای آن با ستداده‌های منتج از مدل استاندارد فائق-پمن-مونتیث می‌توان گزینه مناسبی برای محاسبه تبخیر و تعرق بالقوه منطقه در نظر گرفت. در شکل (۵)



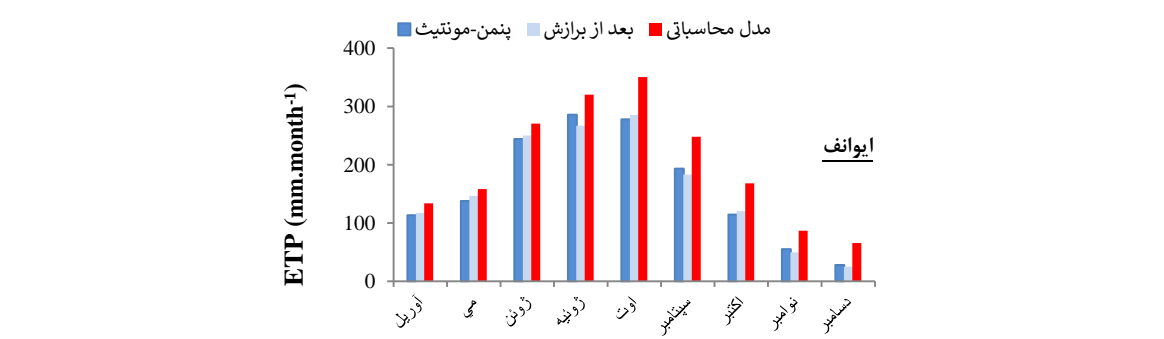
شکل ۶. مقایسه تبخیر و تعرق بالقوه حاصل از مدل‌های ترکیبی قبل و پس از بهکارگیری ضرایب رگرسیونی با مدل استاندارد



شکل ۷. مقایسه تبخیر و تعرق بالقوه حاصل از مدل‌های تابشی قبل و پس از بهکارگیری ضرایب رگرسیونی با مدل استاندارد



شکل ۸. مقایسه تبخیر و تعرق بالقوه حاصل از مدل‌های دمایی قبل و پس از بهکارگیری ضرایب رگرسیونی با مدل استاندارد



شکل ۹. مقایسه تبخیر و تعرق بالقوه حاصل از مدل ایوانف قبل و پس از بهکارگیری ضرایب رگرسیونی با مدل استاندارد

شاخص‌های آماری RMSE, MAE, MBE, R, R/t و معیار جاکوویدس برای ارزیابی عملکرد مدل‌های بکار رفته برآورده شدند. مقادیر این شاخص‌ها در جدول (۲) ارائه شده است.

مطابق جدول (۲) نتایج زیر قابل ارائه می‌باشند:

الف- مدل‌های ترکیبی بیشترین مقادیر متوسط شاخص‌های آماری MBE, RMSE, MAE و معیار جاکوویدس را داشتند که نشان دهنده زیاد بودن خطای این مدل‌ها نسبت به سایر مدل‌های بکاررفته است. بطوریکه مدل ترکیبی آن-پنمن-پروت دارای کمترین مقدار شاخص R/t با مقدار ۰/۰۵۹ بوده و متوسط آن نیز ۰/۰۷۱ است. هر چه مقدار این شاخص زیاد باشد دال بر همخوانی و تطابق بالای آن مدل با نتایج مدل استاندارد خواهد بود.

ب- علی‌رغم مقادیر بالای شاخص‌های خطای RMSE, MAE مدل دورنبوس-پروت مقدار شاخص MBE این مدل کمتر برآورده شده است. دلیل آن را می‌توان در پراکندگی نقاط در بالا و پائین خط $y=x$ در مقایسه برآوردهای ETP این مدل با مدل استاندارد عنوان نمود که با وجود ضریب همبستگی نه چندان زیاد باعث افزایش شاخص R/t به میزان ۰/۱۴۲ شده است.

ج- مدل‌های دمایی کمترین مقادیر متوسط شاخص‌های RMSE, MAE و همچنین بالاترین ضریب همبستگی را در بین گروه‌های بکار رفته دارا بوده که حکایت از هم خوانی و تطابق بهتر این مدل‌ها با مدل مبنا دارد. بطوریکه مدل هارگریوز با ضریب همبستگی ۰/۹۶۵ و شاخص R/t معادل با ۰/۱۶ بالاترین مقدار را در بین تمامی مدل‌ها داشت.

بر اساس اشکال (۶) الی (۹) که در آن‌ها مقادیر متوسط تبخیر و تعرق بالقوه ماهانه حاصل از مدل‌های ترکیبی، دمایی، تابشی و رطوبتی قبل و پس از اعمال ضرایب رگرسیونی با مقادیر حاصل از مدل فائق-پنمن-مونتیث مورد مقایسه قرار گرفته است می‌توان به نتایج زیر اشاره نمود:

الف- در مدل‌های ترکیبی در کلیه ماه‌ها مدل آن-پنمن-پروت مقادیر ETP را از مدل استاندارد فائق-پنمن-مونتیث کمتر برآورده نموده است. بعد از اعمال ضرایب رگرسیونی مقادیر حاصل به ستاده‌های مدل مبنا نزدیک شده و از خطای آن کاسته شده است. در مدل پنمن-رايت اختلاف مقادیر ETP با مدل استاندارد از شدت کمی برخوردار است. در بعضی ماه‌ها مثل می، زوئن و زوئیه بیش برآورده و در بقیه ماه‌ها کم برآورده نسبت به مدل استاندارد داشت.

ب- در مدل جنسن-هیز از آوریل تا اوت ETP های برآورده دارای مقادیر بالایی نسبت به مدل استاندارد بوده و در بقیه ماه‌ها یعنی سپتامبر تا نومبر حالت عکس حاکم می‌باشد. برآوردهای ETP مدل دورنبوس-پروت نیز برای بعضی ماه‌ها مثل آوریل تا زوئیه و دسامبر زیادتر از مدل استاندارد بوده و برای سایر ماه‌ها دارای تخمین‌های کمتری نسبت به مدل مبنا است. هر دو مدل جنسن-هیز و دورنبوس-پروت که جزوء مدل‌های تابشی می‌باشند، بعد از در نظر گرفتن ضرایب رگرسیونی عملکردشان به میزان قابل توجهی بهبود یافته است.

ج- تطابق ETP های به دست آمده از مدل‌های هارگریوز و ایوانف بعد از به کارگیری و اعمال ضرایب رگرسیونی با نتایج حاصل از مدل استاندارد از سایر مدل‌ها بیشتر می‌باشد.

جدول ۲. نتایج شاخص‌های آماری برای ارزیابی عملکرد مدل‌های بکار رفته

مدل	MBE (mm.mon ⁻¹)	MAE (mm.mon ⁻¹)	RMSE (mm.mon ⁻¹)	اختلاف میانگین	R ²	R	معیار جاکوویدس (t)	R/t
تابشی								
دورنبوس-پروت	21.47	39.98	49.64	21.96	0.745	0.863	6.08	0.142
جنسن هیز	-23.36	39.12	46.46	-24.08	0.878	0.937	7.38	0.127
میانگین	-0.945	39.55	48.05	-1.06	0.811	0.9	6.73	0.134
ترکیبی								
پنمن-رايت	29.00	34.18	44.67	28.93	0.836	0.914	10.82	0.084
آلن-پنمن-پروت	46.02	47.48	59.12	46.91	0.859	0.927	15.73	0.059
میانگین	37.51	40.83	51.89	37.92	0.847	0.920	13.27	0.071
دمایی								
لیناکر	-28.35	35.92	44.60	-28.32	0.840	0.917	10.44	0.089
هارگریوز	-18.77	33.44	43.61	-19.03	0.932	0.965	6.05	0.16
میانگین	-28.31	34.68	44.105	-27.67	0.886	0.941	10.62	0.124
رطوبتی								
ایوانف	-34.19	39.04	50.40	0.963	0.929	0.963	11.71	0.082

جدول ۳. نتایج شاخص های آماری برای ارزیابی عملکرد مدل های بکار رفته بعد از اعمال ضرایب رگرسیونی

مدل	MBE (mm.mon ⁻¹)	MAE (mm.mon ⁻¹)	RMSE (mm.mon ⁻¹)	اختلاف میانگین(t)	معیار جاکوبیدس	R/t
تابشی						
دورنبوس-پروت	1.52	35.65	42.48	1.54	0.45	1.89
جنسن هیز	0.03	26.64	31.57	1.32	0.01	70.62
میانگین	0.77	31.145	37.02	1.43	0.23	36.25
ترکیبی						
پنمن-رایت	-0.14	27.21	33.97	-0.25	0.05	16.05
آن-پنمن-پروت	0.520	25.73	31.492	0.52	0.21	4.41
میانگین	0.19	26.47	32.731	0.135	0.13	10.23
دماجی						
ليناکر	0.45	26.90	33.62	0.53	0.17	5.31
هارگریوز	-0.26	17.76	23.32	-0.26	0.14	6.73
میانگین	0.09	22.33	28.47	0.13	0.15	6.02
رطوبتی						
ایوانف	0.001	18.44	24.22	0.001	0.0005	1813

ضرورت دارد قبل از کاربرد آن ها در هر منطقه کارایی و عملکرد آن ها مورد بررسی واقع شود، لذا در این تحقیق برای ایستگاه سینوپتیک میانه ارزیابی عملکرد هفت مدل تخمین تبخیر و تعرق بالقوه انجام شد. نتایج بدست آمده را می توان دربندهای زیر خلاصه نمود:

۱) مدل های دماجی کمترین مقادیر متوسط شاخص های آماری خطای RMSE,MAE را دارا بوده و بیشترین ضریب تبیین در بین گروه های بکار رفته مربوط به این مدل ها بود. مدل دماجی هارگریوز با ضریب همبستگی ۰/۹۶۵ و شاخص R/t معادل با ۰/۱۶ بالاترین مقدار را در بین تمامی مدل ها داشت. این مقادیر گویای هم خوانی و تطبیق بهتر این مدل با نتایج حاصل از مدل استاندارد فاؤ-پنمن-مونتیث می باشد. لذا می توان مدل هارگریوز را به خصوص بعد از لحاظ ضرایب رگرسیونی به عنوان جایگزین مناسب برای مدل فاؤ-پنمن-مونتیث برای محاسبه ETP ایستگاه مزبور در نظر گرفت.

۲) علی رغم آنکه مدل رطوبتی ایوانف دارای شاخص های خطای MBE RMSE,MAE و معیار جاکوبیدس بالایی بود، ولی با داشتن ضریب همبستگی ۰/۹۶۳ و به دنبال آن هم خوانی بالا با ستدۀ های مدل استاندارد، این مدل بعد از در نظر گرفتن ضرایب رگرسیونی برای تخمین ETP ایستگاه سینوپتیک میانه پیشنهاد است. لازم به ذکر است که برآورد ETP با این مدل که تنها به دو عامل هواشناسی و استه است، بسیار ساده می باشد.

۳) بیشترین مقادیر متوسط شاخص های خطای آماری MBE RMSE,MAE و معیار جاکوبیدس مربوط به مدل های ترکیبی بودند.

د- مدل رطوبتی ایوانف با وجود بالا بودن شاخص های خطای MBE RMSE,MAE، با اختلاف خیلی اندک دارای بیشترین ضریب همبستگی معادل با ۰/۹۶۳ می باشد. این مقدار ضریب همبستگی، نشانگر هم خوانی بالای این مدل که برای محاسبه ETP فقط از به دو پارامتر هواشناسی نیاز دارد، است.

مقادیر ETP برای تمامی مدل ها بعد از اعمال ضرایب رگرسیونی در آنها مجدد محاسبه شدند. برای ارزیابی عملکرد مدل های بعد از اعمال ضرایب رگرسیونی، مقادیر شاخص های آماری RMSE و معیار جاکوبیدس برآورد گردیدند که نتایج در جدول (۳) ارائه شده است.

بطوریکه از جدول (۳) مشهود است شاخص های آماری خطای MBE RMSE,MAE، اختلاف میانگین(t)، معیار جاکوبیدس و تمامی مدل های بکار رفته بعد از در نظر گرفتن ضرایب رگرسیونی بطور محسوسی کاهش یافته است. کاهش شاخص های مزبور نشانگر تاثیر مثبت اعمال ضرایب رگرسیونی در مدل ها در افزایش کارایی و عملکرد آنها است. مدل های هارگریوز و ایوانف به ترتیب دارای KMBE RMSE,MAE، اختلاف مقدار شاخص های آماری آن مثل هستند. علی رغم انکه مقدار R/t مدل جنسن هیز نسبت به اکثر مدل ها بالاست ولی دیگر شاخص های آماری آن مثل MBE RMSE,MAE، حداقل نیستند. دلیل این امر به مقدار شاخص خطای MBE (۰/۰۳ میلی متر در ماه) ارتباط پیدا می کند.

نتیجه گیری:

از آنجایی که هر کدام از مدل های تجربی برآورد تبخیر و تعرق بالقوه تحت شرایط اقلیمی و محلی به خصوصی ابداع شده اند و

کاهش یافتن که نشان از تاثیر مثبت آن در بهبود و افزایش کارایی و عملکرد مدل‌ها بود.

(۴) پس از در نظر گرفتن و اعمال ضرایب رگرسیونی در کلیه مدل‌ها مقادیر شاخص‌های خطاب طور قابل ملاحظه‌ای

Reference:

- Allen, R. G., Pereira, L. S., Raes, D., Smith, M. (1998). Crop evapotranspiration -Guidelines for computing crop water requirements-FAO Irrigation and drainage paper 56. FAO, Rome, 300(9), D05109.
- Allen, R.G., Pruitt, W.O.(1991). FAO-24 reference evapotranspiration factors.J.Irrig.Drain.117(5):758-774.
- Ayaz, A., Maddu, R., Kumar Singh, S., Shaik, R. (2021). Estimation of reference evapotranspiration using machine learning models with limited data. AIMS Geosciences, 7(3): 268–290.
- Bodian, A., Malick Ndiaye, P., Bassirou Diop, S., Diop, L., Dezetter, A., Ogilvie, A., Djama, K. (2024). Evaluation and calibration of alternative methods for estimating reference evapotranspiration in the main hydrosystems of Senegal: Senegal, Gambia and Casamance River Basins. Proc. IAHS, 385, 415–421.
- Doorenbos.,J., Pruitt,W.O.(1984). Crop water requirements.FAO.Irrigation and drainage paper, 4.pp:124
- Ghamarnia,H., Soultani,N. (2019). Evaluating the Efficiency of Empirical Estimation of Reference Evapotranspiration(Pan Based Method) in Different Climate Conditions of Iran. Iran Water Resources Research, 14(4), 174-193. [in Persian]
- Golreyhan, J., Amininia, K., Valizadeh Kamran, K., (2023). Estimation of Actual Evapotranspiration of Pasture Plants using Case Study: Ahar County). Journal of Geography and Regional Development, 21(3), 169-197. [in Persian]
- Hargreaves, G.H.(1989). Accuracy of estimated reference crop evapotranspiration. J. Irrig.Drain, 115(6),1000-1008.
- Ivanof, N.N. (1954) The determination of potential evapotranspiration, Izvest. Vsesoyuznogo. Geograf. Obs. 86(2):189-201.
- Jensen, M.E., Burman R.D. & Allen R.G. 1990. Evapotranspiration and irrigation water requirements. ASCE Manuals and Report on Engineering Practices No. 70. American Society of Civil Engineers, New York, 360 pp.
- Jacovides, C.P. (1997) Reply to comment on Statistical procedures for the evaluation of evapotranspiration models, J. Agricultural water management. 3:95-9.
- Khari, D., Egdernezhad, A., Ebrahimpak, N. (2023). Comparison of artificial intelligence models and xperimental models in estimating reference evapotranspiration (Case study: Ramhormoz synoptic station). Water and Soil Management and Modeling, 3(2), 112-124. [in Persian]
- Landeras, G., Ortiz-Barredo, A., López, J. J. (2008). Comparison of artificial neural network models and empirical and semi-empirical equations for daily reference evapotranspiration estimation in the Basque Country (Northern Spain). Agricultural water management, 95(5), 553-565.
- Linacre, E.T. (1977). A simple formula for estimating evaporation rates in various climates, using temperature data alone. Agricultural Meteorology, 18(6): 409-424.
- Pourasghar, F., Eslahi, M., Akbarzadeh, Y. (2020). Studying of the extreme temperature events in East Azerbaijan for 1388-1428. Journal of Climatological Research, 12(48). 143-156. [in Persian]
- Raja, P., Sona, F., Surendran, U., Srinivas, C.V., Kannan, K., Madhu, M., Mahesh, P., Annapu, S. K., Ahmed, M., Chandrasekar, K., Suguna, R.A., Kumar, V., Jagadesh, M. (2024). Performance evaluation of different empirical models for reference evapotranspiration estimation over Udhagamandalm, The Nilgiris, India. Nature portfolio, 14(1), 155-171.
- Raoof, R.& Azizi Mobaser, J. (2018). Evaluation of Eighteen Reference Evapotranspiration Models under the Ardabil Climate Condition. Journal of Soil and Water Conservation Research, 24(6), 227.241. [in Persian]
- Ravand, A., Shahriar Khalidi, S., Hassanabadi, D.)2022). Predicting the effects of climate change on the comfort climate of the city of Miyane using climate models (SDSM). Applied research in geographical sciences, 21(63), 251-270. [in Persian]
- Sentelhas, P. C., Gillespie, T. J., Santos, E. A. (2010). Evaluation of FAO Penman–Monteith 22 and alternative methods for estimating reference evapotranspiration with missing data in Southern Ontario, Canada. Agricultural Water Management, 97(5), 635-644.
- Song, X., Lu, F., Xiao, W., Zhu, K., Zhou, Y. Xie, Z. (2019). Performance of 12 reference evapotranspiration estimation methods compared with the Penman–Monteith method and the potential influences in northeast China. Meteorological Applications, 26(1), 83-96.
- Tafi, S., peyghan, K., Bagheri Khaneghahi, M., Salehipour bavarsad, T., Soltani mohamadi, A. (2021). Evaluation of fourteen methods of estimation reference evapotranspiration (Case study: Mazandaran Province). Iranian Journal of Irrigation and Drainage, 15(3), 510-520. [in Persian]
- Writh, J.L. (1982).New evapotranspiration crop coefficients.J.Irrig.Drain., 108(1), 57-77.

یادداشت ها

¹ Landeras

² Sentelhas

³ Ayaz

⁴ Bodian

⁵ Raja